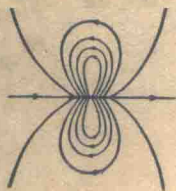


# 偶極電測深理論

П. М. 阿爾平著

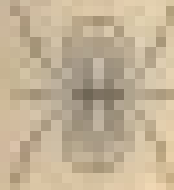


地質出版社



# 醫學地圖錄理論

卷之三



醫學地圖錄

# 偶極電測深理論

П. М. 阿尔平 著

林 振 民 譯

地質出版社

1957·北京

Л. М. АЛЬПИН  
ТЕОРИЯ ДИПОЛЬНЫХ  
ЗОНДИРОВАНИЙ  
ГОСТОПТЕХИЗДАТ  
МОСКВА 1950

本書敘述了作者所推荐的電法勘探的一種形式——偶極電測深——的  
數學物理基礎。此外，還研究了野外工作方法及其結果的整理等一系列問題。  
本書可作為電法勘探的工程技術人員的指南。

偶 極 電 測 深 理 論

---

著 者 Л. М. Альпин  
譯 者 林 振 平  
出 版 者 地 質 出 版 社  
北京宣武門外永光寺西街3號  
北京市書刊出版業營業許可證出字第050號  
發 行 者 新 華 書 店  
印 刷 者 地 質 印 刷 厂  
北京廣安門內教子胡同甲32號

---

編輯：陳培光 技術編輯：張華元 校對：張曉光  
印數(京)3,700冊 1957年4月北京第1版  
開本31"×43"1/25 1957年4月第1次印刷  
字數90,000字 印張4  
定价(10)0.55元

# 偶極電測深理論

П. М. 阿尔平 著

林 振 民 譯

地質出版社

1957·北京

Л. М. АЛЬПИН  
ТЕОРИЯ ДИПОЛЬНЫХ  
ЗОНДИРОВАНИЙ  
ГОСТОПТЕХИЗДАТ  
МОСКВА 1950

本書叙述了作者所推荐的電法勘探的一種形式——偶極電測深——的  
數學物理基礎。此外，還研究了野外工作方法及其結果的整理等一系列問題。  
本書可作為電法勘探的工程技術人員的指南。

偶極電測深理論

---

著 者 月 M. 阿 尔 平  
譯 者 林 振 民  
出 版 者 地 質 出 版 社  
北京宣武門外永光寺西街3号  
北京市書刊出版委員會許可證出字第050号  
發 行 者 新 華 書 店  
印 刷 者 地 質 印 刷 厂  
北京廣安門內教子胡同甲32号

---

編輯：陳培光 技術編輯：張華元 校對：張曉光  
印數(京)3,700冊 1957年4月北京第1版  
开本31<sup>1/2</sup>×43<sup>1/2</sup>/25 1957年4月第1次印刷  
字數90,000字 印張4  
定价(10)0.55元

## 目 錄

緒 言.....	4
1. 地表上的電場分量.....	16
2. 偶極子的一次場 .....	18
3. 偶極電阻.....	22
4. 各偶極電阻分量之間的關係.....	27
5. 偶極電測深與普通電測深的結果之間的關係 .....	29
6. 偶極電測深曲線的近似公式.....	36
7. 在平行層系上的電測深.....	38
8. 偶極電測深曲線的水平漸近線 .....	48
9. 進行偶極電測深時的絕緣基底.....	51
10. 關於普通電測深和偶極電測深的記錄點和探測深度.....	56
11. 平行偶極裝置.....	61
12. 關於根據偶極電測深的結果繪制普通電測深曲線問題.....	72
13. 理論計算的條件的破壞.....	73
14. 實際的（非極限的）偶極裝置的系數.....	76
15. 關於偶極電測深結果的描述.....	80
16. 關於偶極電測深的實際實現.....	84
17. 關於偶極電測深的量板.....	91
18. 關於偶極電測深的優缺點.....	96
結束語.....	99

## 緒 言

野外電阻率法勘探所採用的裝置是（圖1）由兩個供電電極 $A$ 和 $B$ （電流 $I$ 經過它們送入地下）及兩個測量電極 $M$ 和 $N$ 組成；電極 $M$ 和 $N$ 在段線 $AB$ 的中間部分，做為測量 $M$ 和 $N$ 點間的電位差之用。有時也可在 $AB$ 間隔的外面測量 $AB$ 直線上的電位降，而有時在平行於 $AB$ 的直線上測量。其中，“擋出 $MN$ ”（圖2）裝置，曾在1936年被果辛（К.П. Козин）和查加爾米斯特爾（А.М. Загаль мистр）用于追索石英脈。

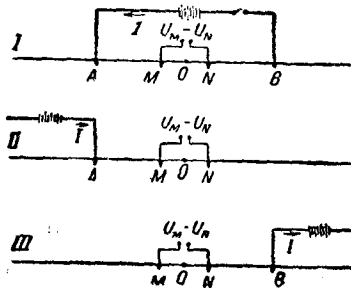


圖 1. 直線對稱四極裝置及三極裝置。



圖 2. “擋出  $MN$ ”裝置

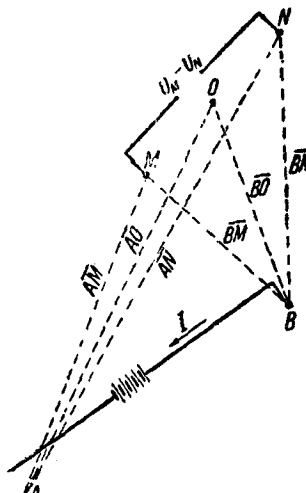


圖 3. 四極裝置的普遍形式

圖3. 表示四極裝置的普遍形式，而圖4表示對稱四極裝置的普遍形式。

用普通四極法工作時所觀察的場是電極 $A$ 和 $B$ 所產生的場的總和，而所測量的電位差 $U_M - U_N$ 是 $A$ 和 $B$ 極的電場在 $M$ 和 $N$ 點之間的電壓的代數和。換句話，普通四極裝置 $AMNB$ 可認為是三極裝置的加倍，如圖1所示。第四電極的存在使所觀察的電位差增大，並使裝

置系数相应地缩小，但在原理上其差别不大。为要实现双向电测深（ $A$ 和 $A'$ 电极在 $MN$ 电极延线上并分布于其两边）曾经不止一次企图摆脱第四电极的影响。第二供电电极可布置在垂直于 $MN$ 并通过其中点 $O$ 的直线上（图5），这样可避免把它放到十分远的地方。但在介质沿水平方向是均匀的，即岩石导电率沿水平向是不变的条件下（沿平行于地表的方向，而地表假定为一平面），电测深的结果与方向无关，而多向电测深也就失去意义。假使这条件不存在，则第四电极即使是布置在上述垂直线上，也须放在足够远的距离上，不然就不能保证消除其影响。

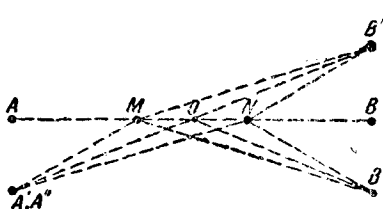


圖4. 对称四極裝置：直線的  
( $AMNB$ ) 及非直線的  
( $A'MNB'$  及  $A''MNB''$ )

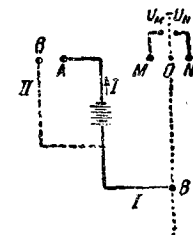


圖5. 双向調查的裝置：  
I—電極 $B$ 位于“无限远”；  
II—電極 $B$ 位于電極 $A$ 附近  
(偶極裝置)

$\overline{MN} \rightarrow 0$  时的  $AMN$  装置的电测深，可当作借助于测量偶极子  $MN$  在离  $A$  极不同的距离 ( $r = \overline{AO} = \frac{\overline{AM} + \overline{AN}}{2}$ ) 上观察点电极  $A$  的电场。根据测量电极与供电电极互换原理，可以认为进行  $\overline{MN} \rightarrow 0$  的  $AMN$  装置的电测深时，我们是在不同距离的  $A$  点上观察供电偶极子  $MN$  所产生的电位差。假使  $AMNB$  四极装置中的两个电极  $N$  与  $B$  离电极  $A$  和  $M$  足够远（与  $\overline{AM}$  线段相比较），则得到双极装置  $AM$ 。这类装置的电测深可归结为在不同的距离上观察点电极的电场。

$AM$  和  $AMN$  装置，与  $AMNB$  一样，可以用以进行剖面测量，为此，不改变装置的大小而沿地表移动它。这时，远离的电极或则保持不动，或则与其他电极一起移动。在进行  $AMN$  或  $AM$  装置的剖面测量时，也必须注意到远离的电极可能产生的影响。

讓我們想像用觀察偶極子所產生的電場的強度的方法來進行電阻率法的調查。為這目的，可將四極裝置改變為兩個偶極子：一為供電的  $BA$ ，另一為測量的  $MN$ 。實際上這意味著  $B$  和  $A$  電極靠近到這樣程度使得  $\overline{BA}$  距離以及  $\overline{MN}$  距離與  $\overline{BA}$  和  $\overline{MN}$  線段的中點  $Q$  及  $O$  的距離相較，顯得十分小。

很顯然，在一般情況下，偶極子可以任意地分布（圖 6）。沿地面移動偶極裝置而不改變其相互位置，則得到偶極剖面，而固定  $QO$  的中心或其他點並改變  $QO$  的距離，則得到偶極電測深。

在 1938 年作者曾向國家聯合地球物理托拉斯科學調查處（НИОГС ГТ）提出採用偶極裝置的意義。

在 1939 年有一小型試驗性電法隊在作者領導下在韃靼蘇維埃社會主義共和國古比雪夫城附近進行偶極電測深試驗①。

在 1941 年初發表了作者的論文“偶極電測深”（“礦產勘探”雜誌第一期）。在該論文上指出了沿着通過偶極子中心的直線研究電場強度具有很重要意義，並導出某些偶極電測深原理，包括下列情況：測量偶極子與供電偶極子相平行而前者的中心點位於後者的軸上（即軸向

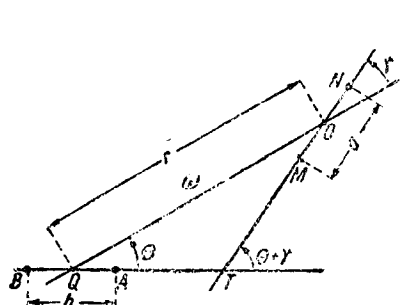


圖 6. 偶極電測深的普遍形式

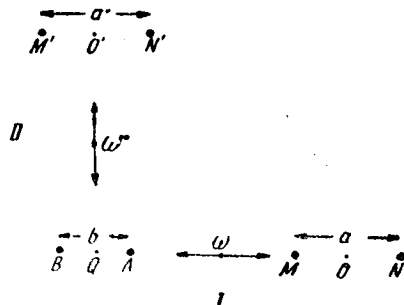


圖 7. 最簡單的具有平行偶極子的偶極裝置：軸向的(I)及赤道的(II)

①隊內的人員包括了伏爾斯基電法勘探隊的成員（隊長為契柯夫 Г. Д. Чеков）。野外工作以及資料的整理工作，有霍爾闕（В. И. Холмин 分隊長），МГРИ 的學生布洛赫（И. М. Блох）和波式克（Л. Н. Постик 操作員）及費多洛夫（А. А. Федоров）工程師等人參加。

电测深），或前者的中心点位于后者的赤道面上（即赤道电测深）。图7表示这些最简单的装置。在这论文中叙述了上述试验的结果，并指出轴向及赤道电测深的优缺点。

将任何偶极电测深与普通电测深相比，其优点是可缩短长线的（一般为供电的）长度。这优点的意义还不限于节省电线，虽则这点已有不小意义。

当电线的长度大为增加时候，其电阻就超过A和B接地电阻。为此，就要求增大供电线路中的电压，这样必然引起漏电和其他困难。

偶极装置还有一些优点如：增强偶极电测深的“分辨率”，并便于进行“单向”增距的“双向”调查①。还可指出供电线路与测量线路相远离时的某些好处：显著地减少漏电的影响，并减少装置的总长度。

图8对照了不同装置的电测深的理论曲线（量板的），计算这曲线时的条件是：第二层介质电阻率 $\rho_2$ 为第一层电阻率 $\rho_1$ 的9倍的水平层系。这些曲线绘在双对坐标纸上，纵坐标表示视电阻率与第一层电阻率的比值，而横坐标表示电极距 $r$ （场源与观察点之间的距离）与第一层厚度 $h_1$ 的比值。

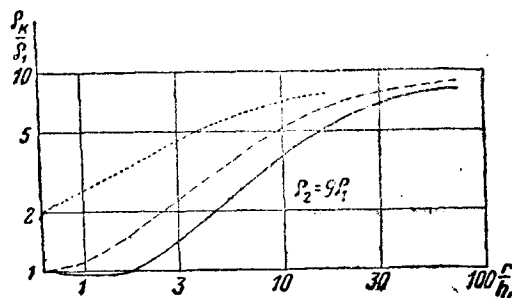


图8. 不同装置的电测深的两层理论曲线的对照：双极装置AM—上枝曲线；极限三极装置AO—中间曲线；轴向偶极装置一下枝曲线（对数坐标），横坐标表示以第一层厚度为单位的AM，AO及QO的距离（相应于双极，三极和偶极的装置）

偶极曲线差异性大，而AM装置的曲线差异性最小。

1940年布洛赫（在1939年他做为实习生参加上述试验）在上布林

①图5中虚线表示出，为要取得便于进行双向调查的装置，将电极B放在电极A附近比放在“无限远”要方便得多。

区的一个礦上采用偶極剖面，得到很成功的結果❶。

但偶極裝置有兩個缺点，成为阻碍偶極電測深發展的客觀原因：

(1) 偶極子間的距離增大時，觀察的電位差的下降，要比 $AMNB$ 裝置的供電電極距增大時快得多，為此就要增加供電電流的強度，而在用干電池時，常常是达不到這樣強度；(2) 由於必須把供電線路接到電位計的同步開關上❷，因此由於採用偶極裝置而使 $AB$ 或 $MN$ 線的長度的減少，並不能導致電線總長度的減少。

由於電測站的出現〔НИИПГ ГСГТ 的 A. 阿列克西葉夫 (A. M. Алексеев) 与 B. 亞雷雪夫 (B. P. Ярышев) 及其他等人設計的〕，偶極裝置的意義大為增加。在電測站上，由於有高靈敏度的檢流計、照相記錄、用發電機供電、並且用特殊方法通電和斷電等，使得電場迅速降低而引起困難大為減少，還可避免用同時開關做零點讀數；由於這些原因，使得發揮偶極電測深的優點時所遇到的技術障礙大部分消失。

另方面，用普通四極裝置工作時，電測站的優點並沒全部發揮。偶極裝置的線路電阻小，可避免過高的電壓，因而採用它更為合理。

1945年亞雷雪夫曾以第一套電測站 (НИИПГ) 在格魯斯區 (Гро-зный) 進行深偶極測深工作。

在1947年，這現象曾引起大家注意，就是當偶極子互相垂直時，場的形成過程的時間大為縮短。

在同一 year, A. 克拉耶夫 (A. A. Краев) 与 A. 西門諾夫 (A. С. Семенов) 的論文 (“礦產勘探”1947年第3期) 引起電法勘探人員的注意，該論文敘述了在列寧格勒區採用偶極裝置進行非常深的電測深。

對於最簡單的偶極電測深——軸向及赤道——的理論，作者曾在上述文章里 (“礦產勘探”1941年第1期) 做了介紹。A. 薩布羅夫斯基 (A. И. Заборовский) 教授所著“電法勘探”書中也有所敘述❸。

❶布赫：雙向剖面。“礦產勘探”，1948年第3期。

❷但是，用其他方法來使這兩線隨時閉合的可能性並不是不存在。

❸Заборовский А.И. Электроразведка, Гостоптехиздат 1943, 薩布羅夫斯基：電法勘探。國家燃料出版社，1943年。

本書將敘述更普遍的裝置形式的偶極電測深的理論。

雖則這題目較為簡單，作者還是尽量詳細地用文字和數學公式敘述，希望使廣泛的電法勘探專家能很快地熟悉偶極電測深。

有必要首先提起某些電法勘探的基本原理。

進行電阻率法工作時，電極 $M$ 和 $N$ 之間的電位差為：

$$U_M - U_N = \int_{M}^N (\mathbf{E}, d\mathbf{l}) = \int_{M}^N E dl \cos(\mathbf{E}, d\mathbf{l}), \quad (0.1)$$

此間  $\mathbf{E}$ —— $M$ 和 $N$ 點聯線之間的電場強度。

測量結果的所謂“介質視電阻率”可用下公式表示： (0.2)

$$\varrho_K = k \frac{U_M - U_N}{I}$$

此間  $K$ ——裝置系數。

當 $MN$ 距離為無限小時，則成為具有測量偶極子 $MN$ 的極限裝置（或理論的裝置），其電位差

$$U_M - U_N = \overline{MN} E_{MN} \quad (0.1')$$

而

$$\varrho_K' = k' \frac{E_{MN}}{I} \quad (0.2')$$

此間  $E_{MN}$ ——在“觀測點”上即在偶極子 $MN$ 上沿 $\overrightarrow{MN}$ 方向的電場分量，而  $K'$ ——極限的裝置系數。當 $MN$ 非常小時

$$K' \cong \overline{MN} K.$$

$K$ 與 $K'$ 系數是這樣確定：從均勻介質中的 $U_M - U_N$ 及 $E_{MN}$ 的表達式出發，使得根據 (0.2) 及 (0.2') 公式計算出來的  $\varrho_K$  值等於此介質的電阻率。這樣，假使以  $U^0$  和  $E^0$  表示具有  $\varrho_0$  電阻率的均勻介質中的電位和電場強度（在給定的供電電極，即其給定的位置和給定電流強度的情況下），則得

$$\varrho = K \frac{U_M^0 - U_N^0}{I}, \quad (0.3)$$

或

$$\varrho^0 = K' \frac{\kappa_K E}{I} \quad (0.3')$$

因此

$$\frac{\varrho_K}{\varrho^0} = \frac{U_M - U_N}{U^0_M - U^0_N}, \quad (0.4)$$

或

$$\frac{\varrho_K}{\varrho^0} = \frac{E_{MN}}{E^0_{MN}} \quad (0.4')$$

在具有 $\varrho_0$ 电阻率的均匀介质中,一个位于地表的电极(其供电电流为 $I$ ),在相距为 $F$ 处所产生的电位和电场强度,可用下列公式表示:

$$U^0 = \frac{e}{F} = \frac{\varrho^0 I}{2\pi} \cdot \frac{1}{F};$$

$$E^0 = \frac{e}{F^3} F,$$

此间  $e = \frac{\varrho^0 I}{2\pi}$  —— 电极的电荷。

从上述公式很容易得出电位差 $U^0_M - U^0_N$ 及电场强度的分量 $E^0_{MN}$ 的表达式:

$$U^0_M - U^0_N = \frac{\varrho^0 I}{2\pi} \left( \frac{1}{AM} - \frac{1}{AN} - \frac{1}{BM} + \frac{1}{BN} \right); \quad (0.5)$$

$$E^0_{MN} = \frac{\varrho^0 I}{2\pi} \left( \frac{\cos(\overrightarrow{AO}, \overrightarrow{MN})}{AO^2} - \frac{\cos(\overrightarrow{BO}, \overrightarrow{MN})}{BO^2} \right) \quad (0.5')$$

这样, 就得出四极装置的系数

$$K = \frac{2\pi}{C}; \quad (0.6)$$

$$K' = \frac{2\pi}{C'}, \quad (0.6')$$

此间

$$C = \frac{1}{AM} - \frac{1}{AN} - \frac{1}{BM} + \frac{1}{BN}; \quad (0.7)$$

$$C' = \frac{\cos(\overrightarrow{AO}, \overrightarrow{MN})}{AO^2} - \frac{\cos(\overrightarrow{BO}, \overrightarrow{MN})}{BO^2} \quad (0.7')$$

假使照这样來布置  $AB$  和  $MN$  电極，使得  $\overline{AM} = \overline{BN}$ ,  $\overline{AN} = \overline{BM}$  及  $\overline{AO} = \overline{BO}$ <sup>\*</sup>，則

$$C = 2\left(\frac{1}{AM} - \frac{1}{AN}\right), \quad (0.7'')$$

$$C' = \frac{2 \cos(\overrightarrow{AO}, \overrightarrow{MN})}{AO^2} \quad (0.7''')$$

其中，普通采用的直線对称四極裝置就屬於这情况，但对于直線裝置  $\cos(\overrightarrow{AO}, \overrightarrow{MN}) = 1$ 。

假使电極  $B$  离其余电極非常远，则得(假定  $\overline{BM} \rightarrow \infty$  和  $\overline{BN} \rightarrow \infty$ )

$$C = \frac{1}{AM} - \frac{1}{AN}; \quad (0.8)$$

$$C' = \frac{\cos(\overrightarrow{AO}, \overrightarrow{MN})}{AO^2}, \quad (0.8')$$

即，从三極裝置  $AMN$  变为对称四極裝置  $AMNB$  时，系数  $C$  和  $C'$  增加一倍。当介質为“水平向均匀”的条件下，則  $U_M - U_N$  和  $E_{MN}$  的值也加倍。正如上面所談，在这条件下，第四个电極的存在并非本質問題，这种裝置可用三極裝置  $AMN$  代替。

实际上所采用的測量綫  $MN$  具有一定長度。这样(下面將要說明)

$$K' > \overline{MN} K,$$

\* 這情況發生于當電極  $AB$  及  $MN$  位于平行四邊形的對角綫的端點上或位于等腰梯形的兩底的端點上時，如圖 4 所示。

而

$$\overline{MNE}_{MN} < U_M - U_N.$$

但假使比值  $\frac{\overline{MN}}{\overline{AO}}$  和  $\frac{\overline{MN}}{\overline{OB}}$  是不很大的分数，則通常可認為

$$K'E_{MN} \cong K(U_M - U_N). \quad (0.9)$$

其中，对于直線三極裝置的場合，根据 (0.6) 和 (0.8) 可得

$$C = \frac{\overline{MN}}{\overline{AM} \cdot \overline{AN}}; \quad (0.10)$$

$$K = 2\pi \frac{\overline{AM} \cdot \overline{AN}}{\overline{MN}} = 2\pi n(n-1) \overline{MN} \quad (0.11)$$

此間

$$n = \frac{\overline{AN}}{\overline{MN}} \quad (0.12)$$

是个大于二的数。

当  $n$  为无限大时則得極限裝置  $AO$ ，此裝置是相应于  $AMN$  裝置的極限情况，它是由电源  $A$  和位于觀測点  $O$  的測量偶極子組成。对于此裝置，依据 (0.8') 及 (0.6') 可得

$$C' = \frac{1}{\overline{AO}^2}; \quad (0.10')$$

$$K' = 2\pi \overline{AO}^2. \quad (0.11')$$

假使  $n$  足夠大，則  $\overline{AN} \cong \overline{AM} \cong \overline{AO}$ ，对于直線裝置  $AMN$ ，則依据 (0.11) 可得

$$K \cong 2\pi \frac{\overline{AO}^2}{\overline{MN}}, \quad (0.13)$$

而且近似等式

$$K' \cong \overline{MN} K \quad (0.14)$$

能夠成立。假使  $n$  值不十分大，則得

$$K = \frac{2\pi}{MN} \left( \frac{\overline{AO^2}}{4} - \frac{1}{4} \frac{\overline{MN^2}}{MN^2} \right); \quad (0.13')$$

$$\overline{MN} K = (1-\alpha) K', \quad (0.14')$$

此間

$$\alpha = \frac{\overline{MN^2}}{4\overline{AO^2}} = \frac{1}{(2n-1)^2}, \quad (0.15)$$

以代替 (0.13) 和 (0.14)。

當  $n=2$ ，即當  $\overline{AM}=\overline{MN}$  時：

$$\alpha = \frac{1}{9} \cong 11\%.$$

但隨着  $n$  和  $\frac{K}{K'}$  的減少， $MN$  間電場的平均值也就增長，即數值

$$E_{cp} = \frac{1}{MN} \int_M^N (\mathbf{E} d\mathbf{l}) \quad (0.16)$$

隨着增長（與中點  $O$  的  $E_{MN}$  值相比較），因而  $\frac{U_x - U_N}{MN}$  的比值也隨着增長。因此近似等式 (0.9) 在一般情況下仍然正確。其中，對於建立電測深理論時所假設的條件，即對於由均勻岩層所組成的平行層系的場合，這論斷是正確的。

在這樣條件下，根據 (0.2) 和 (0.2') 公式所確定的  $\varrho_K$  數值，相互間差別小到這樣程度，以致有可能將根據 (0.2) 公式整理出的實際測量的結果，與根據 (0.2') 公式所做的理論計算的（對於不同的斷面）結果相比較而進行推斷。換句話說，在這種條件下，採用 (0.2) 與 (0.13) 公式所繪出的野外電測深曲線，可用根據 (0.2') 和 (0.13') 計算所得的量板進行推斷❶（但帶有某些限制）。

❶關於  $MN$  長度對於電測深曲線形狀的影響的問題，可參看作者的一篇論文，在“實用地球物理”第一期和第二期，國家燃料出版社，1945年和1946年。